Thesis

1型リアノジン受容体を介したヒト樹状細胞応答の解析 悪性高熱症素因者診断のための可能性

埼玉医科大学 医学部 麻酔学 (指導:菊地 博達教授) 成田 弥生

共同研究者: 植村 靖史(埼玉医科大学 医学部 免疫学)

劉 天懿(埼玉医科大学 医学部 免疫学)

松下 祥(埼玉医科大学 医学部 免疫学)

菊地 博達(埼玉医科大学 医学部 麻酔学)

Analysis of Human Dendritic Cell Responses Mediated by Type 1 Ryanodine Receptor –A Possible Diagnostic Tool for Malignant Hyperthermia–

NARITA YAYOI (Department of Anesthesiology, Saitama Medical University, Moroyama, Iruma-gun, Saitama 350-0495, Japan)

悪性高熱症 (malignant hyperthermia; MH) は, Ca^{2+} チャネルの一つである1型リアノジンレセプター (ryanodine receptor type 1; RyR1) の変異に起因して、全身麻酔時に筋小胞体の Ca^{2+} 動態異常を示すことにより発症する遺伝性筋疾患である。発症時には筋強直、発熱の他にも多様な症状を呈するため、世界的に統一された臨床診断基準は今のところない。現在、生検により得られた筋細胞のCICR (Ca^{2+} induced Ca^{2+} release) を確定診断に用いているが、高度の侵襲性を有すること、検査時間が長いこと、施設の制限等により普及していない。したがって、侵襲性の少ない一般採血による検査が可能になれば、日常検査の一つとして広く応用することが出来る。

樹状細胞 (dendritic cells; DCs) は末梢血中に存在する白血球の一つであり,種々の刺激に対して液性因子産生や細胞遊走,形態学的変化等,多様な細胞応答を示し,免疫制御において重要な役割を演じている。しかし,ヒトDCにおけるRyR発現を確認した報告は現在のところ無い.我々はこのDCに着目し,RyRサブタイプの発現およびRyRを介した Ca^{2+} 応答性を解析した.その結果,DCはRyR1遺伝子を発現しており,そのRyRを特異的に刺激することで細胞内 Ca^{2+} ストアに由来する Ca^{2+} 上昇を示した.また,この Ca^{2+} 上昇はRyR阻害剤により抑制された.従って,DCには Ca^{2+} チャネルとして機能するRyR1が存在し,これを介して特異的な細胞応答を示す可能性がある.DCはMH素因者を同定する新規診断法開発のために,RyR1応答を指標として患者と健常人の相違点を探索するのに有用である.

Keywords: 悪性高熱症,樹状細胞,リアノジン受容体

緒言

悪性高熱症 (malignant hyperthermia; MH) は、全 身麻酔時に使用する揮発性の吸入麻酔薬や脱分極性 医学博士 甲第1049号 平成19年3月23日 (埼玉医科大学) 筋弛緩薬の使用により発症する筋疾患である. 臨床症 状は高熱,筋強直,呼吸性・代謝性アシドーシス,頻 脈,不整脈,高カリウム血症や高 CK 血症,ミオグロ ビン尿等を呈する^{1,2)}. この疾患は常染色体優性遺伝を 示すが,日常生活上は全く問題がなく,全身麻酔を受 けた場合にのみ発症するため、患者は悪性高熱症素因者 (malignant hyperthermia susceptible; MHS) と表現される. 発症した場合には重篤で、適切な治療が行なわれなかった場合には死に至ることもある 2 . 疾患の本態は骨格筋細胞内のカルシウムイオン (calcium ion; Ca^{2*}) 動態異常に起因する代謝亢進であり、MHに特異的な臨床症状はなく、世界的に統一された臨床診断基準は今のところ存在しない.

骨格筋細胞内のCa²⁺は、骨格筋の収縮及び解糖作用 やミトコンドリア機能を調節している. Ca2+はアク チンフィラメント上にあるトロポニンCと結合する ことで、トロポミオシンとアクチンの構造的変化を 起こし、ミオシンにあるATPaseを活性化することで ATPが分解され、筋収縮がおこると考えられている. また、骨格筋細胞内のCa²⁺が増加すると、細胞内のグ リコーゲンからグルコースへ, さらにグルコースが 分解されエネルギーと乳酸を産生する. 骨格筋小胞体 (sarcoplasmic reticulum; SR) のCa²⁺が調節レベルを超 えて上昇すると、ミトコンドリア内にCa²⁺を取り込み 貯蔵する機能が作動する. ミトコンドリアではATPの 需要増加に対応して, 好気的代謝が活性化されて酸素 を消費してATPを産生する.また、一過性のCa²⁺の増 加に対しては、ATPを消費して骨格筋小胞体へCa²⁺を 取り込み、骨格筋細胞内のCa²⁺を維持しようとする作 用もある.しかし、MHSに揮発性吸入麻酔薬やサクシ ニルコリン (SCh) が投与されると, 骨格筋のCa²⁺調節 機構が破綻してCa²⁺ 濃度が上昇する. その結果, 筋収 縮やグリコーゲンの分解が活性化され, SRへのCa²⁺の 取り込みが増加する. これらにはATPが必要であるた め、ミトコンドリアでは、Ca²⁺を取り込む作用以外に もATP産生のために好気的代謝が促進され、酸素を消 費してATPが産生される. 骨格筋の収縮, ミトコンド リア好気的代謝,解糖系,ATPの加水分解などにより 熱が産生される. MHではこのような一連の反応の結 果, O₂とATPとグリコーゲンが枯渇して, CO₂と乳酸 と熱が過剰に産生され、最終的には骨格筋細胞膜も障 害されると考えられている³⁻⁵. つまり, MHの最初の 変化は骨格筋細胞内でのCa²⁺の上昇である.

小胞体膜上の Ca^{2+} チャネルには、リアノジン受容体 (ryanodine receptor; RyR) とイノシトール三リン酸 受容体 (inositol triphosphate receptor; IP₃R) がある⁶. IP₃Rは、ホスホリパーゼCyの作用によりホスファチジルイノシトール2リン酸がイノシトール三リン酸とジアシルグリセロールに分解されることにより産生される。IP₃Rはイノシトール三リン酸が結合して活性化され、これによって Ca^{2+} 遊離が誘発される⁷. これに対しRyRは植物アルカロイドであるリアノジンが特異的に結合する受容体であり^{8,9}、リアノジンの結合により受容体は開口状態に固定される。この受容体は細胞質内の Ca^{2+} 濃度が上昇することにより細胞内ストアか

らCa²⁺が放出されるという機能, つまりCa²⁺-induced Ca²⁺ release (CICR) を担っている⁶.

RyRには、主に骨格筋に存在する1型、主に心筋に存在する2型、主に脳組織に存在する3型の、3種類のサブタイプが存在する $^{10-14}$. これら3種のサブタイプは別々の遺伝子にコードされ、それぞれ約5000アミノ残基より構成されているが、65%以上のアミノ酸配列の相同性があり、それぞれが類似の構造的特徴を有している 15 . 悪性高熱症の原因遺伝子であるRyR1は、ヒトでは第19染色体に位置し、106エクソン遺伝子で、5038アミノ酸から構成される大きなタンパク質をコードすることが知られている 11,12 . マウスでは第7染色体に位置し、RyR1欠損マウスは呼吸不全によると考えられる新生致死の表現型を示し、その骨格筋組織は顕著な退縮を示す 16 .

現在のMHの確定診断は、局所麻酔下に筋生検を行い、骨格筋のCa²⁺動態異常を直接観察することにより行われている。しかしこの方法にはいくつかの問題点がある。1. 素因者への侵襲性が高いこと、2. CICR速度の測定を行っている施設が少ないこと、3. 筋肉採取後、48時間以内に検査を終了する必要があること、4. 測定に時間がかかり、同時に何例も検査をすることが不可能である等が挙げられる²⁾. 原因遺伝子 (RyR1)が判明していることから、遺伝子の変異点を検索する方法も試みられたが、人種による変異点の差や、変異点の不明な症例も多いことが明らかとなっており、遺伝子変異の検索による診断は困難とされている¹⁷⁾ (表 1).

遺伝要因を有するヒトが、MHを発症する可能性があるかどうかを、侵襲性の高い筋肉の生検に頼らずに、簡便で、より精度が高い方法で予測することができれば、この疾患の解明、及び予防に貢献できる.採血による検査法は簡便で、患者への侵襲性の低い診断法といえる.

リンパ球は抗原や種々の液性因子により刺激されることで多様なサイトカイン産生性を示す。MHでみられる臨床症状は筋強直や代謝性アシドーシス,頻脈,体温上昇等多様であり,サイトカインによる作用等,免疫システムを巻き込んだ結果生じる可能性もある 18 . 近年,Bリンパ球には $^{2^{1}}$ 放出チャネルとして機能する 19 にれらの相互作用が多様な免疫応答に関与していることが示唆されている。

最近、Ca²⁺チャネルとして機能するRyR1が、マウスの樹状細胞 (dendritic cell; DC) に発現することが明らかにされた²⁰. DCは生体内の至る所に存在し、常に外界からの異物の侵入を監視し、生体内に侵入する異物特有の構造パターンを認識することで、未成熟な状態から免疫応答を惹起する成熟 DCへと分化する. さらに、認識した異物の構造の違いにより、異なる分化

表1. 現在の悪性高熱症診断法

検体(採取法)	検索対象	問題点
スキンドファイバー	CICR 速度の測定	侵襲性が高い
(筋生検)		施設が少ない
		採取後、48 時間以内の検査が必要
DNA(採血)	遺伝子変異検索	変異点が多様
		(人種差、変異点不明例もあり)
B細胞 (採血)	IL-1 β 測定	産生される IL-1β は微量
筋細胞(筋生検)	IL-6 測定	侵襲性が高い
		CICD C 2+1 1 1 C 2+ 1

CICR; Ca2+ induced Ca2+ release

を経ることで免疫応答性 (特にヘルパーT (Th) 応答性)を制御している²¹⁾. 細菌由来のLPSを認識したDCは,主に細胞性免疫応答 (Th1) を誘導し、寄生虫などに由来する特殊な糖脂質の糖鎖構造を認識したDCは,主に体液性免疫応答 (Th2) を誘導する²²⁻²⁶⁾. このように高度に発達分化した免疫担当細胞は,種々の刺激に対し多様な遺伝子を発現し、生体内の免疫恒常性を維持するために重要な役割を演じている. さらに、DCは種々の刺激により特殊な液性因子を産生するだけでなく、細胞遊走、形態学的変化等多様な細胞応答を示すことから、MHSと健常人との相違点を、これらをターゲットとして探索するのに有用である.

本研究では、ヒトDCを用いた悪性高熱症診断法の 開発を目的として、ヒトDCにおけるRyRサブタイプ の発現とRyRの Ca^{2+} チャネルとしての機能をRyRアゴ ニストを用いて評価し、その有用性を明らかにした。

材料と方法

モノサイト由来DC (monocyte-derived dendritic cells; Mo-DCs)の誘導

インフォームドコンセントの得られた健常人ボラン ティアの末梢血からFicoll-Paqueを用いた密度勾配遠 心法により末梢血単核球 (peripheral blood mononuclear cells; PBMCs)を分離した. さらにこのPBMCより, CD14 MicroBeads (Miltenyi Biotec, Bergisch Gladbach, Germany)を用いてCD14陽性細胞を分離した. 分離 したCD14陽性細胞を6穴プレートに 2×10^6 /mlになる ように調整し、50 ng/mlヒトリコンビナント (rh) IL-4, および50 ng/ml rhGM-CSF (Primmune, Osaka, Japan) を加えた5%ヒト血清入り RPMI1640 (SIGMA, St Louis, MO) で5日間培養したものをモノサイト由来樹状細胞 として用いた. DCに成熟刺激を加えないものを未熟 DC (immature DC; iDC) とし, iDCに成熟誘導因子で あるプロスタグランジン E_2 (PGE₂) (10 μM) +TNF α (100 ng/ml), あるいはLPS (10 µg/ml)を加え, 48 時間培養 して得られたものを成熟DCとして解析に用いた.

RT-PCRによるRYR発現の評価

ヒト免疫担当細胞株; (human acute monocytic leukemia cell line) THP-1 (モノサイト), Jurkat (T細胞), CD14陽性モノサイト, モノサイト由来DC (iDC, PGE₂-DC, LPS-DC) よりtotal RNAを抽出し (RNeasy Mini Kit, QIAGEN, Maryland, USA), complementary DNA (以下 cDNA)を合成した (Omniscript RT kit, QIAGEN, Maryland, USA). 内在性のコントロールとしてβ-actinを使用し、RyR1-3の陽性コントロールとしてヒト脳 cDNA (Origene, Rockville, MD, USA)を使用した. 以下に示すプライマーを用いて各 RyR サブタイプの遺伝子発現を Reverse Transcriptase Polymerase Chain Reaction (RT-PCR) 法により評価した.

RyR1; 5'- GACATGGAAGGCTCAGCTGCT -3',

5'- CAGATGAAGCATTTGGTCTCCAT -3',

RyR2; 5'- AAGGAGCTCCCCACGAGAAGT -3',

5'- CAGATGAAGCATTTGGTCTCCAT -3',

RyR3; 5'- AAGAGGAAGCGATGGT -3',

5'- CAGATGAAGCATTTGGTCTCCAT -3',

β-actin; 5'- CCTCGCCTTTGCCGATCC -3',

5'- GGATCTTCATGAGGTAGTCAGTC -3',

PCR 反応は95℃ 1分,62℃ 1分,72℃ 2分,30サイクルで反応させた.

細胞内カルシウム動態の測定

calcium buffer (calcium buffer; 145 mM NaCl, 5 mM KCl, 1 mM Na₂HPO₄, 1 mM MgCl₂, 5 mM glucose, 1 mM CaCl₂, and 10 mM HEPES (N-2-hydroxyethylpiperazine-N'-2-ethanesulfonic acid; pH 7.5)) およびCa指示薬Fura-2-AM (5 μ M) (Biotium, Haywaed, CA, USA) でDCを 4° C, 30分インキュベートした. 1×10^{6} /mlに調整した DCを, cell tak (BD Biosciences, CA, USA) を塗布した ガラスベースディッシュ (Iwaki, Chiba, Japan) に固定し、 4° Cにて30分間静置した.この際にRyR1 阻害薬として20 μ M ダントロレン (Calbiochem, Darmstadt,

Germany), IP₃R阻害薬として10 µM ゼストスポンギンC (Wako, Osaka, Japan), 細胞外 Ca²+キレート剤として5 mM EGTA (WAKO, Osaka, Japan), 細胞内 Ca²+キレート剤として5 mM EGTA (WAKO, Osaka, Japan), 細胞内 Ca²+キレート剤としてBAPTA-AM (nacalai tesque, Kyoto, Japan) 存在あるいは非存在下のものを用意した. これを37℃に保ち, RyRアゴニストである細胞内 Ca²+誘導性試薬(4-クロロ-m-クレゾール; 4-chloro-*m*-cresol; 4CmC, ならびにATP) を直接添加した. ニコンTE2000 倒立顕微鏡 (Nikon ECLIPSE TE 2000) とAqua Cosmos 画像解析装置 (浜松ホトニクス; Hamamatsu Photonics)を用いて5秒毎の蛍光強度を2波長励起1波長蛍光計測 (340 nm, 380 nm)した. 結果は340/380 nm 蛍光強度比にて示した.

結 果

1. ヒトDCはRyR1を発現する

主なヒト免疫担当細胞におけるRyRサブタイプの遺伝子発現を評価した。THP-1 (モノサイト), Jurkat (T細胞), およびヒトCD14陽性モノサイト, iDC, PGE2-DC, LPS-DCを解析に用いた。ヒト脳細胞はすべてのRyRサブタイプ(RyR1, 2および3)を発現する為, これを陽性コントロールとした。また、 β -actinは内在性コントロールとした。図1に示すように、RyR1はTHP-1、CD14モノサイト、iDC、PGE2-DC、LPS-DCなどの成熟DCに比較してRyR1遺伝子の高発現を認めた。RyR2はTHP-1のみに発現が認められたがCD14モノサイト、iDC、および分化誘導されたDCには発現が認められなかった。RyR3を発現する免疫担当細胞は認められなかった。

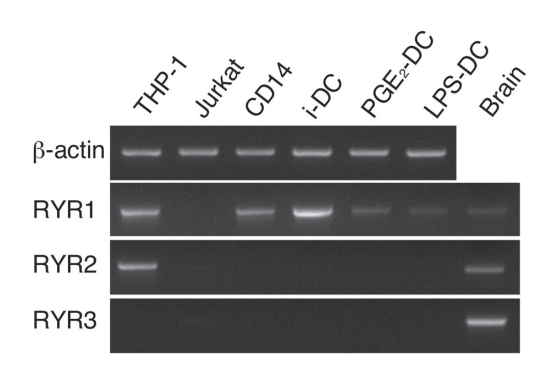


図1. ヒトDCにおけるRyRサブタイプの遺伝子発現. THP-1, Jurkat, およびヒトCD14モノサイト, iDC, PGE $_2$ -DC, LPS-DCにおけるRyRサブタイプの発現をRT-PCR法で解析した結果を示す. 脳 cDNAは各 RyRサブタイプの陽性コントロールとして、 β -actinは内在性コントロールとして使用した.

2. 4CmCはヒトDCにおける細胞内ストアからの細胞内 Ca^{2+} 上昇を誘導する

先に示したように、ヒトDCはRyR1遺伝子を発現することが明らかである。そこで我々は、RyRアゴニストである4CmCをDCに付加することによって、細胞内 Ca^{2+} が上昇するかを検討した (図2).

その結果、細胞内外の Ca^{2+} を除去せずに4CmC (500 μ M) 刺激することによりヒトDCは、細胞内 Ca^{2+} の持続性の上昇を示した (図 2A). さらに、EGTAを用いて細胞外 Ca^{2+} を除去して4CmC 刺激した場合においては、細胞内 Ca^{2+} の一過性の上昇を示した (図 2B). 一方、BAPTA-AMを用いて細胞内 Ca^{2+} を除去して4CmC 刺激した場合では細胞内 Ca^{2+} 上昇は認められなかった (図 2C). また、EGTAとBAPTA-AMの両方を存在させ、細胞内外の Ca^{2+} をキレートした状態で4CmC 刺激した場合においても細胞内 Ca^{2+} 上昇は認められなかった (図 2D).

以上の結果より、ヒトiDCは4CmC 刺激することにより細胞内 Ca^{2+} 上昇を示すが、この細胞内 Ca^{2+} 上昇は細胞内 Ca^{2+} ストアに由来することが明らかとなった.

3. ヒトiDCは4CmC刺激とATP刺激に対し、RyRを介した細胞内 Ca^{2+} 上昇を示す

4CmC刺激した際に認められる細胞内 Ca²⁺上昇が,

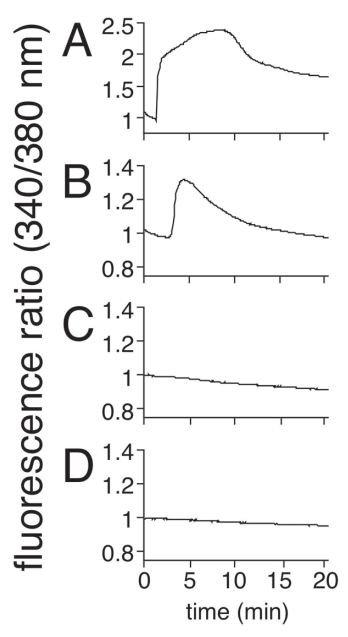


図 2. 4CmCに対するヒトDCの Ca^{2+} 応答性. A; EGTA (5 mM) 非存在下, BAPTA-AM(50 μ M) 非存在下でヒトDCを4CmC (500 μ M) 刺激した際の Ca^{2+} 応答を示す. B; EGTA存在下, 4CmC刺激したヒトDCにおける Ca^{2+} 応答を示す. C; BAPTA-AM存在下で4CmC刺激したヒトDCにおける Ca^{2+} 応答を示す. D; EGTA存在下,BAPTA-AM存在下で4CmC刺激したヒトDCにおける Ca^{2+} 応答を示す. 横軸は時間,縦軸は2波長励起1波長蛍光計測によって得られた蛍光比,fluorescence ratio (340/380 nm) を示す.

RyR特異的な応答であるかを評価するために、RyR阻害薬であるダントロレン、あるいは IP_3R 阻害薬であるゼストスポンギンCを作用させ、それぞれの受容体機能を阻止した状態で、4CmC(RyR刺激薬)、あるいはATPで刺激した。ATPは細胞表面上のP2Y 受容体に結合し、シグナルを伝達することによって IP_3R を活性化し、細胞内 Ca^{2+} 上昇を促進する。また、ATPはRyRに対してアゴニストとして作用し、細胞内 Ca^{2+} 上昇に促進的に作用することが知られている。

細胞外の Ca^{2+} をキレートし,各受容体の阻害薬のない状態で,DCを4CmC 刺激した場合には細胞内 Ca^{2+} の上昇を示した(図 3A). ダントロレン存在下,4CmC 刺激した場合では,DCにおける細胞内 Ca^{2+} 上昇の抑制が認められた(図 3B). 一方,ゼストスポンギンC存在下,DCを4CmC 刺激した場合では,細胞内 Ca^{2+} 上昇に抑制は認められなかった(図 3C). 以上より,4CmC 刺激により誘導される細胞内 Ca^{2+} 上昇は,RyRを介したものであり, IP_3R を介さない応答であることが示唆された.

細胞外の Ca^{2+} をキレートせずに,また各受容体の阻害薬のない状態で,DCをATP刺激した場合では細胞内 Ca^{2+} の上昇が認められた(図 4A).一方,ダントロレン存在下ATP刺激した場合では,DCにおける細胞内 Ca^{2+} 上昇の抑制が認められた(図 4B).以上より,ATP刺激により誘導されるDCの細胞内 Ca^{2+} 上昇にはRyRを介した応答が関与することが示唆された.

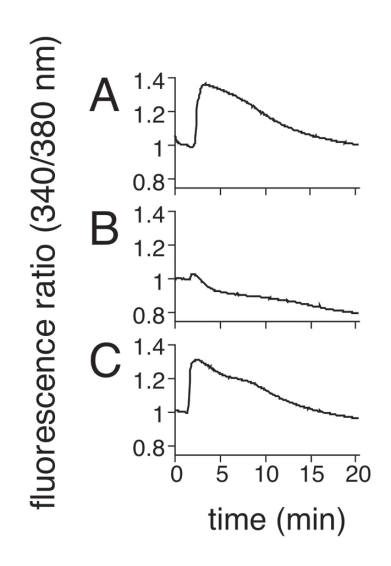


図3. ヒトDCにおける4CmCによるRyRを介したCa²⁺ 応答性. A; EGTA存在下, ヒトDCを4CmC刺激した際のCa²⁺ 応答を示す. B; EGTA存在下, ダントロレン存在下, ヒトDCを4CmC刺激した際のCa²⁺ 応答を示す. C; EGTA存在下ゼストスポンギンC存在下, ヒトDCを4CmC刺激した際のCa²⁺ 応答を示す. 横軸は時間, 縦軸は2波長励起1波長蛍光計測によって得られた蛍光比, fluorescence ratio (340/380 nm)を示す.

考察

MHは、全身麻酔時に使用する揮発性の吸入麻酔薬 や脱分極性筋弛緩薬の使用により発症するが、1. 臨床 症状が多様であること^{1,2)}, 2. EtCO₂の上昇, 体温上昇 など不適切な麻酔によっても同様の症状が見られる こと、3. 甲状腺疾患等、合併症依存性を示すこと等の 理由により、疾患自体の鑑別が難しいとされている. 近年、Bリンパ球およびEBウイルス形質転換B細胞 を4CmC刺激することにより、RyR1を介して細胞内 Ca^{2+} が上昇することが報告された $^{19,27)}$. すでに4CmC刺激によりEBウイルス形質転換B細胞が産生する IL-1 β¹⁸⁾, あるいは筋細胞が産生するIL-6²⁸⁾を指標に MHSを同定しようとする試みがある. 前者は、4CmC 刺激に対してEBウイルス形質転換B細胞が産生する IL-1βは微量であるため、その検出が困難であること が問題点である.一方、後者は生検時の生体への侵襲 性が高いことが問題点である. 従ってこれらを応用し てMHSと健常人との差を日常検査に用いるのは困難 である. また、これらの液性因子を短時間で大量に産 生させるのに必要な4CmC 濃度は極めて細胞毒性が高 く, 生理的細胞応答とは大きく異なっている等の点 から、診断への有用性および普遍性に乏しい.一方、 RyR1の遺伝子変異を解析することにより MHSを診断 する方法が報告されているが、MHSにおけるRyR1遺 伝子の変異が複数箇所にわたって存在すること, さら にこれらの変異部位が人種により異なる等の理由から 正確な診断を行うことが困難とされている29.

DCは生体内の至る所に存在し、異なる分化を経ることで免疫応答性 (特にヘルパー T(Th) 応答性)を制

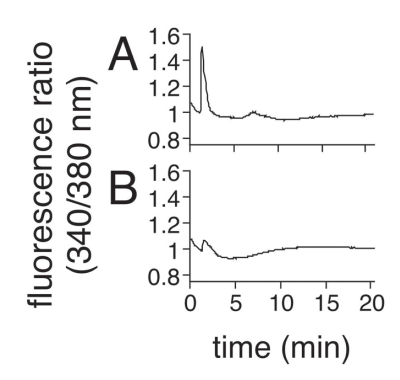


図4. ATP 刺激における Ca^{2+} 上昇にはRyRが関与する。A; EGTA 非存在下,ヒトDCをATP 刺激した際の Ca^{2+} 応答を示す。B; EGTA 非存在下ダントロレン存在下,ヒトDCをATP 刺激した際の Ca^{2+} 応答を示す。横軸は時間,縦軸は2波長励起1波長蛍光計測によって得られた蛍光比,fluorescence ratio (340/380 nm) を示す。

御する高度に発達分化した免疫担当細胞である.特に、DCから産生される種々の内因性発熱物質は、悪性高熱症で認められる多様な症状を構成する可能性があり、RyR1アゴニストに対するDC 応答性を評価することで、MHの病態への関与も明らかとなるかもしれない.

マウスDCのRyR発現を確認した報告はすでに存 在する²⁰⁾. しかし,ヒトのDCのRyR発現を確認した 報告は現在のところない. 本研究で我々はヒトのDC におけるRyRの発現をRT-PCR法を用いて確認した. RyR1は健常人のCD14モノサイト, iDC, PGE₂-DC, LPS-DCに発現していた. また, iDCはPGE₂-DC, LPS-DC などの成熟 DCに比較してRyR1 遺伝子を高発 現していることが明らかになった. LPS-DCやPGE,-DC は、成熟刺激により誘導されるサイトカイン、ケモカ イン、細胞表面分子等の遺伝子発現が選択的に上昇 することが知られている. したがって、RyR1遺伝子発 現量が相対的に減少して見えているのかもしれない. RyR1 蛋白発現量の解析、および成熟 DC における RyR を介したCa²⁺応答の評価が必要である. RT-PCRによる 解析結果では、成熟 DCよりiDCの方がRyR1 遺伝子の 発現が高かったために,RyRアゴニストに対するCa²⁺ 応答性はiDCが最も高いことが予想された. 従って, Ca²⁺応答性の評価にiDCを用いた.

iDCをRyRアゴニストにより刺激した場合に、Ca²⁺ 上昇が認められ, さらに細胞外のCa²⁺をキレートした 場合でも一過性のCa²⁺上昇が見られた. これに対し、 細胞内 Ca²⁺をキレートすると、Ca²⁺上昇は認められ なかった (図 2). 従ってRyR 刺激による Ca²⁺ 上昇は細 胞内 Ca²⁺ストアに由来することが明らかとなった. また、iDCをRyR刺激した際に認められるCa²⁺上昇は、 RyR阻害薬であるダントロレンによって抑制されたこ とから、この反応はRyRを介したものと考えられる. DCにはRyR1遺伝子のみしか発現しない為(図1), 4CmCによって誘導されるCa²⁺上昇はRyR1を介した ものと考えられる. さらに IP₃Rの特異的阻害薬である ゼストスポンギンCは、4CmC刺激時のCa²⁺上昇を阻 害しないことから4CmCにより誘導されるCa²⁺上昇は IP₃Rを介さない応答と考えられる (図3). ATPはRyR に対してアゴニストとして作用し、細胞内 Ca²⁺ 上昇に 促進的に作用することが知られている. これに一致し て、RvR阻害薬存在下でATP刺激した場合では、DC のCa²⁺上昇は認められなかった (図 4). 従って, ATP 刺激によるDCのCa²+上昇過程にはRyRを介したCa²+ 移動が関与するものと考えられる.

以上より、ヒトDCには Ca^{2+} チャネルとして機能するRyR1が発現していることが明らかとなった。また、RyRアゴニスト刺激におけるDCの Ca^{2+} 応答にはRyRを介した Ca^{2+} の移動が関与していることが示唆された。従って、ヒトDCは、MHSと健常人との相違

点をRyR1を介したDC 応答性をターゲットとして探索するのに有用である。Ca²⁺測定は日常検査に用いるのは困難である。しかしRyRアゴニスト刺激により特異的に産生されるDCの液性因子等を検出することができれば広く日常検査として応用が可能となる。またMHSと健常人のDC 応答性の相違点とCICRの相関、遺伝子変異との関連を明らかにすることにより、より正確な診断法を確立できるものと考えられる(図5)。

最近、RyR1ノックアウトマウスのDCには機能不全が認められないことが報告された³⁰⁾. ヒトDCは微生物由来の特殊な構造を認識して多様な応答を示すが、これらの応答性にRyR1の関与はないだろうか. 筋細胞では、T管構造が存在するために、電位依存性 Ca²+チャネルであるジヒドロピリジンレセプターがRyRと近接して存在し、電位刺激をRyRに伝える膜電位センサーとして機能している. 筋細胞に特有に認められるT管構造はDCには存在しないため、ジヒドロピリジンレセプターとRyRの関係および Ca²+応答性は、筋細胞と異なっている可能性がある. これら筋細胞とDCのRyR機能の相違点、および免疫応答性へのRyR機能関与について、今後も継続して探索していきたいと考えている.

結 論

我々は、ヒトDCにおいて3つのRyRサブタイプの中でRyR1のみが発現することを初めて明らかにした。さらに、RyR1にアゴニスト活性を示す4CmCやATP刺激に対し細胞内 Ca^{2+} 上昇を示すことを初めて示した。ヒトDCは、MH素因者と健常人との相違点を探索するのに有用なターゲット細胞である。

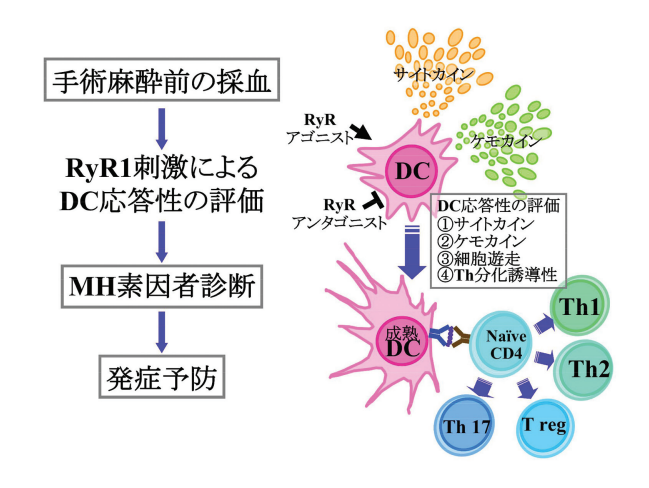


図5. ヒトDCを用いたMHの新規診断法の開発. 手術麻酔前の採血により得られたDCを刺激し、産生されるサイトカイン、ケモカインの測定を行うことでMHSの診断を行うことができるかもしれない.

謝辞

稿を終えるにあたり、御指導いただきました埼玉医科大学医学部麻酔学教授、菊地博達先生、埼玉医科大学医学部免疫学教授、松下祥先生に心より感謝いたします。また、直接御指導いただきました埼玉医科大学医学部免疫学講師、植村靖史先生に心より感謝いたします。また、埼玉医科大学医学部免疫学、埼玉医科大学医学部麻酔学の教室員、中央研究施設形態部門の大島晋先生、中央研究施設機能部門の坂本安先生、皆様からの多くの御協力に深謝いたします。本研究課題は平成17年度落合記念賞を受賞いたしました。

参考文献

- 1) 弓削孟文. 悪性高熱症 最新の知見. 麻酔 1994;43: 86-92.
- 2) 向田圭子. 悪性高熱症 最新の知見と診断・治療. LiSA 1995;2:50-8.
- 3) Avila G. Intracellular Ca²⁺dynamics in malignant hyperthermia and central core disease: established concepts, new cellular mechanisms involved. Cell Calcium 2005;37:121-7.
- 4) Wappler F. Malignant hyperthermia. Eur J Anaesthesiol 2001;18:632-52.
- 5) Loke J, MacLennan DH. Malignant hyperthermia and central core disease: disorders of Ca²⁺ release channels. Am J Medicine 1998;104:470-86.
- 6) Grafton G, Thwaite L. Calcium channels in lymphocytes. Immunol 2001;104:119-26.
- Pawson T, Scott JD. Signaling through scaffold, anchoring, and adaptor proteins. Science 1997;278: 2075-80.
- 8) Jenden DJ, Fairhurst AS. The pharmacology of ryanodine. Pharmacol Rev 1969;21:1-25.
- 9) Fleischer S, Ogunbunmi EM, Dixon MC, Fleer EA. Localization of Ca²⁺ release channels with ryanodine in junctional terminal cisternae of sarcoplasmic reticulum of fast skeletal muscle. Proc Natl Acad Sci USA 1985;82:7256-9.
- 10) Otsu K, Willard HF, Khanna VK, Zorzato F, Green NM, MacLennan DH. Molecular cloning of cDNA encoding the Ca²⁺ release channel (ryanodine receptor) of rabbit cardiac muscle sarcoplasmic reticulum. J Biol Chem 1990;265:13472-83.
- 11) Takeshima H, Nishimura S, Matsumoto T, Ishida H, Kangawa K, Minamino N, et al. Primary structure and expression from complementary DNA of skeletal muscle ryanodine receptor. Nature 1989; 339:439-45.
- 12) Zorzato F, Fujii J, Otsu K, Phillips M, Green NM,

- Lai FA, et al. Molecular cloning of cDNA encoding human and rabbit forms of the Ca²⁺ release channel (ryanodine receptor) of skeletal muscle sarcoplasmic reticulum. J Biol Chem 1990;265:2244-56.
- 13) Hakamata Y, Nakai J, Takeshima H, Imoto K. Primary structure and distribution of a novel ryanodine receptor/calcium release channel from rabbit brain. FEBS Lett 1992;312:229-35.
- 14) Takeshima H, Nishimura S, Nishi M, Ikeda M, Sugimoto T. A brain-specific transcript from the 3'-terminal region of the skeletal muscle ryanodine receptor gene. FEBS Lett 1993;322:105-10.
- 15) Takeshima H. Primary structure and expression from cDNAs of the ryanodine receptor. Ann NY Acad Sci 1993;707:165-77.
- 16) Takeshima H, Iino M, Takekura H, Nishi M, Kuno J, Minowa O, et al. Excitation-contraction uncoupling and muscular degeneration in mice lacking functional skeletal muscle ryanodine-receptor gene. Nature 1994;369:556-9.
- 17) Ibarra MC, Wu S, Murayama K, Minami N, Ichihara Y, Kikuchi H, et al. Malignant hyperthermia in Japan: mutation screening of the entire ryanodine receptor type 1 gene coding region by direct sequencing. Anesthesiol 2006;104:1146-54.
- 18) Girard T, Cavagna D, Padovan E, Spagnoli G, Urwyler A, Zorzato F, et al. B-lymphocytes from malignant hyperthermia-susceptible patients have an increased sensitivity to skeletal muscle ryanodine receptor activators. J Biol Chem 2001;276:48077-82.
- 19) Sei Y, Gallagher KL, Basile AS. Skeletal muscle type ryanodine receptor is involved in calcium signaling in human B lymphocytes. J Biol Chem 1999;274: 5995-6002.
- 20) O'Connell PJ, Klyachko VA, Ahern GP. Identification of functional type 1 ryanodine receptors in mouse dendritic cells. FEBS Lett 2002;512:67-70.
- 21) Kapsenberg ML. Dendritic-cell control of pathogendriven T-cell polarization. Nat Rev Immunol 2003;3: 984-93.
- 22) Whelan M, Harnett MM, Houston KM, Patel V, Harnett W, Rigley KP. A filarial nematode-secreted product signals dendritic cells to acquire a phenotype that drives development of Th2 cells. J Immunol 2000;164:6453-60.
- 23) Okano M, Satoskar AR, Nishizaki K, Harn DA, Jr. Lacto-N-fucopentaose III found on Schistosoma mansoni egg antigens functions as adjuvant for proteins by inducing Th2-type response. J Immunol 2001;167:442-50.

T18 成田 弥生,他

24) van der Kleij D, Latz E, Brouwers JF, Kruize YC, Schmitz M, Kurt-Jones EA, et al. A novel host-parasite lipid cross-talk. Schistosomal lyso-phosphatidylserine activates toll-like receptor 2 and affects immune polarization. J Biol Chem 2002;277: 48122-9.

- 25)van der Kleij D, Yazdanbakhsh M. Control of inflammatory diseases by pathogens: lipids and the immune system. Eur J Immunol 2003;33:2953-63.
- 26) Agrawal S, Agrawal A, Doughty B, Gerwitz A, Blenis J, Van Dyke T, et al. Cutting edge: different Toll-like receptor agonists instruct dendritic cells to induce distinct Th responses via differential modulation of extracellular signal-regulated kinase-mitogen-activated protein kinase and c-Fos. J Immunol 2003;171:4984-9.
- 27)Hosoi E, Nishizaki C, Gallagher KL, Wyre HW, Matsuo Y, Sei Y. Expression of the ryanodine

- receptor isoforms in immune cells. J Immunol 2001; 167:4887-94.
- 28) Ducreux S, Zorzato F, Muller C, Sewry C, Muntoni F, Quinlivan R, et al. Effect of ryanodine receptor mutations on interleukin-6 release and intracellular calcium homeostasis in human myotubes from malignant hyperthermia-susceptible individuals and patients affected by central core disease. J Biol Chem 2004;279:43838-46.
- 29) Kraev N, Loke JC, Kraev A, MacLennan DH. Protocol for the sequence analysis of ryanodine receptor subtype 1 gene transcripts from human leukocytes. Anesthesiol 2003;99:289-96.
- 30)Stolk M, Leon-Ponte M, Merrill M, Ahern GP, O'Connell PJ. IP₃Rs are sufficient for dendritic cell Ca²⁺ signaling in the absence of RyR1. J Leukoc Biol 2006;80:651-8.

 $\ensuremath{\mathbb{C}}$ 2007 The Medical Society of Saitama Medical University

http://www.saitama-med.ac.jp/jsms/